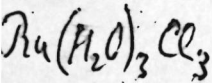


Rif-Cl.

RuCl₃·aq
x 3H₂O
ик-спектр



24 Б105. Об инфракрасных спектрах изомеров трехвалентного трихлоротриаквоторутения. Dugig J. R., McAllister W. A., Мерсег Е. Е. On the I. R. spectra of the isomers of trichlorotriaquoruthenium (III). «J. Inorg. and Nucl. Chem.», 1967, 29, № 6, 1441—1447 (англ.)

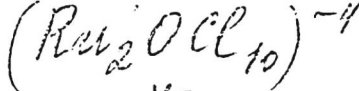
Исследованы ИК-спектры ($4000—250\text{ см}^{-1}$) кристаллических транс- и цис-трихлоротриаквоторутения (I) при -78° . Отнесение спектров основано на том, что транс-I имеет симметрию C_{2v} и в его ИК-спектре должны быть активны 6 колебаний скелета ($4A_1+B_1+B_2$), в то время, как в спектре цис-I, имеющего симметрию C_{3v} , активны 4 колебания скелета ($2A_1+2E$). Приведено следующее отнесение полос (см^{-1}): транс-I — вал. кол. Ru—OH₂

1967

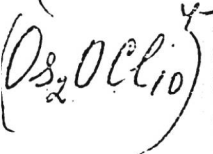
x. 1967. 24

470 и 439 см^{-1} , вал. кол. Ru—Cl 314 и 291 см^{-1} ; цис-I—вал. кол. Ru—OH₂ 432 см^{-1} и, по-видимому, плечо при 440 см^{-1} , вал. кол. RuCl 315 см^{-1} и плечо при 311 или 302 см^{-1} . Большая ширина контуров наблюдаемых полос вероятно связана со случайным наложением полос скелетных колебаний. Колебаний H₂O: вал. кол.—широкая полоса в области 3000 см^{-1} , деф. кол.—1600 (транс-I) и $1610 \text{ (цис-I) см}^{-1}$, маятн. кол.—780 (транс-I) и $870 \text{ (цис-I) см}^{-1}$, веерные кол.—545 (транс-I) и $578 \text{ (цис-I) см}^{-1}$.

Ю. В. Киссин



1074



85: 25605u The electronic structure of the ruthenium oxygen chlorine ion $(Ru_2OCl_{10})^{4-}$ and osmium oxygen chlorine ion $(Os_2OCl_{10})^{4-}$; Jezowska-Trzebiatowska, B.; Szternberg, I. (Inst. Chem., Univ. Wroclaw, Wroclaw, Pol.). *Proc. Int. Conf. Coord. Chem.*, 16th, 1974, R16, 3 pp. (Eng). Univ. Coll., Dublin, Dep. Chem.; Dublin, Ire. The results of the electronic structure calcns. of the $[Ru_2OCl_{10}]^{4-}$ and $[Os_2OCl_{10}]^{4-}$ ions carried out by the self consistent charge and configuration methods are reported.

Kb. uex.
practem

⊕ X



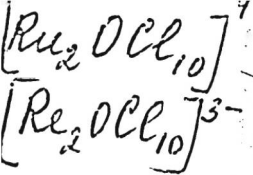
C.A. 1976. 85 N4

RULLY XIV-7439 1976

Müller A., Köriger F.,

et al. J. allg. Struct., 1976,

30, N 1, 195-199.



9 Б181. Изучение с помощью электронных и инфракрасных спектров поглощения, и резонансных спектров комбинационного рассеяния, μ -оксо-декахлордиметаллатов [$\text{Ru}_2\text{OCl}_{10}$]⁴⁻, [$\text{Re}_2\text{OCl}_{10}$]³⁻ и родственных ионов. Campbell J. R., Clark R. J. H. Resonance Raman, infra-red, and electronic spectral studies of the μ -oxo-decachlorodimetallate species, [$\text{Ru}_2\text{OCl}_{10}$]⁴⁻ and [$\text{Re}_2\text{OCl}_{10}$]³⁻, and related ions. «Mol. Phys.», 1978, 36, № 4, 1133—1148 (англ.).

Измерены электронные и ИК- (до 60 cm^{-1}) спектры поглощения, а также резонансные спектры КР комплексов $\text{K}_4[\text{Ru}_2\text{OCl}_{10}]$ и $\text{Cs}_3[\text{Re}_2\text{OCl}_{10}]$, проведено разделение контуров перекрывающихся линий КР, рассчитаны частоты нормальных колебаний анионов. Предложено новое отнесение некоторых частот колебаний. В обоих случаях найдены 6 прогрессий при комб. т-ре и 8 — при 80 K, причем все прогрессии образуются с участием симм. вал. колебания $v(\text{МОМ})$ (v_1, a_{1g}). Самой длин-

и. к. скейр

и. и. есаулов

(+) (8)

2.1979, №

1978

15484

Омск

шой прогрессией в каждом случае является $v_1 v_i$, к-рая достигает $v_1 = 12$ (Ru) и 14 (Re). Определены спектроскопич. константы ω_1 , ω_g , x_{12} , x_{13} , x_{14} , x_{19} и x_{99} . Силовой коэф. F_{13} , связанный с колебанием $v\text{Mo}$ ($8,60$ и $6,84 \times 10^2$ см $^{-2}$ для Ru и Re соотв.), довольно высок; наблюдается сильное смешение аксиальных координат a_{1g} . Совокупность полученных данных позволяет заключить, что резонансный электронный переход является аксиально поляризованным $\pi^* \leftarrow \pi$ переходом π -связанной системы M—O—M.

Т. Б. Ченская



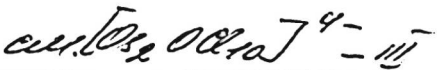
1980

Campbell J. R., et al.

J. Chem. Soc., Faraday

Trans. 2 1980, 76(9), 1103-18

D_i



1980

*RuCl₂**(RuCl₂)₂**Электр.
строение*

10 Д103. Электронное строение димеров рутения(II) с двойными хлоридными мостиками. Electronic structure of dichloro-bridged ruthenium. II. Dimers. Vela Alberto, Garritz Andoni. —Proceedings of the International Symposium on Atomic, Molecular, and Solid-State Theory, Collision Phenomena, Quantum Statistics, and Computational Methods, Flagler Beach, Fla, March 10—20, 1980. — «Int. J. Quantum Chem.», 1980, Quantum Chem. Symp. № 14, 191—200 (англ.)

В рамках спин-поляризованного Хаб метода рассеянных волн исследовано электронное строение линейного RuCl₂ (I) и его димера с двумя мостиковыми атомами Cl симметрии D_{2h} (II). Приведены распределения электронной плотности и энергии спин-орбиталей. В обоих случаях основными найдены высокоспиновые состояния — ⁵D_g для I и ⁹B_{1g} для II — как и для двухатомных молекул переходных металлов. II является слабосвязанным. Отмечено, что все известные димеры Ru с хлоридными мостиками являются диамагнитны-

Ф. 10. 1981

ми, что объяснено тем, что сами хлоридные мостики являются высокоспиновыми и не очень сильно связывающими и присутствие других лигандов, вызывающих сильное расщепление d -орбиталей металла понижает полный спин системы. Сделан вывод, что стабильные димеры с талоидными мостиками могут быть получены только в том случае, когда к металлу присоединены мягкие τ -электронодонорные и/или π -акцепторные лиганда.

В. Л. Лебедев

ных
кису

1980

RuCl₂
Ru₂Cl₄

Джексон
Стюарт

X.1981, N 19

19 Б39. Электронное строение димеров дихлорорутения (2+) с мостиковыми связями. Vela Alberto, Garritz Andoni. Electronic structure of dichloro-bridged ruthenium (II) dimers. Proceedings of the International Symposium on Atomic, Molecular, and Solid-State Theory, collision Phenomena, Quantum Statistics, and Computational Methods, Flagler Beach, Fla, March 10—20, 1980. «Int. J. Quantum Chem.», 1980, Quantum Chem. Symp. № 14, 191—200 (англ.)

Спин-неограниченным методом ССП рассеянных волн (PB) рассчитано электронное строение мономера RuCl₂ ($D\infty_h$) и димера Ru₂Cl₄ (D_{2h}), в к-ром атомы Ru

полагались связанными посредством образования мостиковых связей с атомами Cl. Расчеты проводились в приближении усеченных атомных сфер метода PB с использованием X_{av} приближения для обмённого потенциала. Основными состояниями мономера и димера являются высокоспиновые состояния $^5\Delta_g$ и $^9B_{1g}$ соотв. В мономере наблюдаются большие значения спинового расщепления d-МО металла и малые расщепления МО лигандов, что указывает на локализацию спина на атоме Ru. Как в мономере, так и в димере установлено

полное заполнение МО с проекцией спина α и неполное заполнение МО с проекцией спина β , имеющих разрыхляющий характер и образованных d -АО металла. Для димера рассчитано также электронное строение состояния 1A_g . Энергия состояния 1A_g превышает энергию состояния ${}^9B_{1g}$ менее, чем на 1 эВ. Оба состояния являются связанными относительно диссоциации на 2 мономера с энергиями связи 56,8 и 37,3 ккал/моль для состояний ${}^9B_{1g}$ и 1A_g соотв. При образовании 2 связей Ru—Cl значения энергий связи 28,4 и 18,7 ккал/моль для состояний ${}^9B_{1g}$ и 1A_g являются малыми для простых связей, так что мостиковая структура димера является слабосвязанной. Анализ полученных результатов, а также тот факт, что известные димеры Ru(2+) являются диамагнитными, указывает на то, что стабильные димеры галогенидов Ru с мостиковыми связями могут быть образованы только если σ -донорные мягкие лиганда и/или хорошие л-акцепторы непосредственно связываются с атомами металлов.

И. А. Тополь

1984

 $[\text{RuCl}_6]^{2-}$

1 Б1135. Спектроскопия резонансного комбинационного рассеяния $[\text{RuCl}_6]^{2-}$ и $[\text{RuBr}_6]^{2-}$. Исследование колебательного и электронного комбинационного рассеяния. Resonance Raman spectroscopy of $[\text{RuCl}_6]^{2-}$ and $[\text{RuBr}_6]^{2-}$. Studies of the vibrational and electronic Raman effect. Clark R. J. H., Dines T. J. «Mol. Phys.», 1984, 52, № 4, 859—870 (англ.)

Изучены резонансные спектры КР $[\text{Ph}_4\text{P}][\text{RuCl}_6]$ (I), $[\text{Ph}_4\text{As}]_2[\text{RuCl}_6]$ (II), $\text{K}_2[\text{RuCl}_6]$ (III), $\text{Cs}_2[\text{RuBr}_6]$ (IV) и $[\text{Bu}_4\text{N}]_2[\text{RuBr}_6]$ (V) в тв. состоянии и в р-рах. В спектрах проявлялись прогрессии обертонов и составных тонов с участием колебаний $v_1(a_{1g})$, $v_2(l_g)$ и $v_5(t_g)$ ионов $[\text{RuCl}_6]^{2-}$ и $[\text{RuBr}_6]^{2-}$. Кроме того, в спектрах наблюдали линии $(902, 1529, 1850 \text{ см}^{-1}$ для $[\text{RuCl}_6]^2$ и $750, 950$ и 1850 см^{-1} для $[\text{RuBr}_6]^{2-}$), относящиеся к электронным переходам. Вид контуров возбуждения этих линий хорошо согласуется с электронными спектрами поглощения ионов. Поляризац. соотношения в спектрах КР указывают на то, что для обоих ионов в р-рах симметрия основного состояния $\Pi_1/{}^3T_{1g}$. А. В. Бобров

X, 1985, 19, N1.

$[RuCl_6]^{2-}$ [Om. 22322] 1985

Campbell N.J., Davis V.A.,
Kouidam. Griffith W.P., et al.,

Chem. Soc. Dalton
Trans., 1985, N8, 1673 -
- 1675.

(OM. 31268)

1988

Miskowski V. M.,
Loehr T. M. et al.,

Inorg. Chem., 1988, 27,
N 26, 4708-4712.

Di(Ru-Cl)
(6 крист.)

$RuCl_3$

1994

Pollini I.

Phys. Rev. B: 1994.

Флекмрон.
Снейдерен.

50, N.Y.C. 2095-2503.

(see $\bullet CrCl_3$; III)

1994

F: RuHCl

P: 3

6Б146. Смешанные трехатомные молекулы гидрид-галогенидов переходных металлов второго переходного ряда. 2nd Row transition metal mixed hydride halide triatomic molecules / Siegbahn P. E. M. // Theor. chim. acta. - 1994. - 88, N 6. - C. 413-424. - Англ.

РНХ 1997

RuCl₂

1994

Siegbahn Per E. M.

сивадуби.

и сивукин,
meop. pacem

Theor. Chim. Acta

1994, 87 (6), 441-52

● (cet. YH₂; III)

1995

F: RuCl₃

P: 3

5Б2240. Исследование фотоэмиссии с угловым разрешением из валентных зон RuCl[3]. Angle-resolved photoemission investigation of the valence bands of RuCl[3] / Carricaburu B., Mamy R., Pollini I. // Phys. status solidi. B. - 1995. - 187, 1. - С. 141-148. - Англ.; рез.

фр. Методом рентгеновской и УФ фотоэлектронной спектроскопии с угловым разрешением исследована электронная структура слоистого соединения RuCl[3]. Измерены кривые распределения энергии вдоль различных направлений в зоне Бриллюэна. Обсуждена природа валентных зон RuCl[3] с привлечением данных по электронной структуре RuO[2].